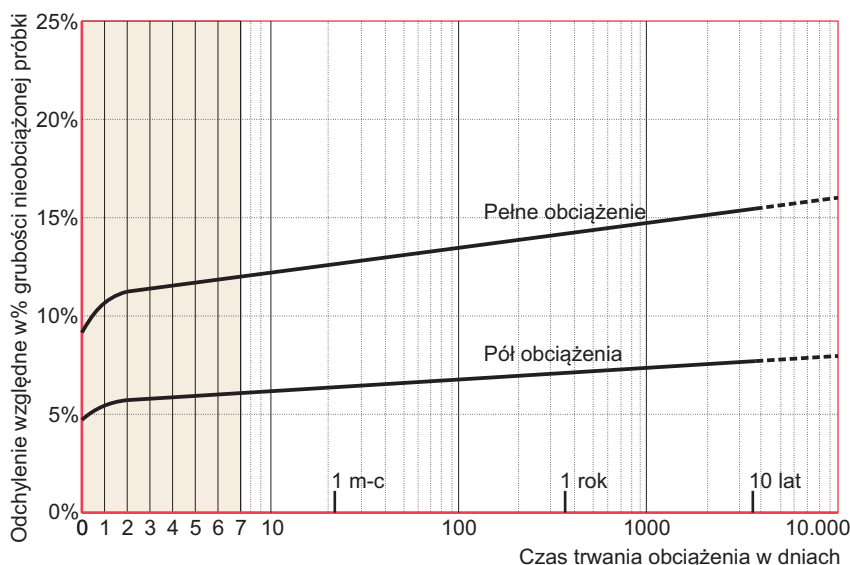


Sylodamp®

Szczegółowy arkusz danych

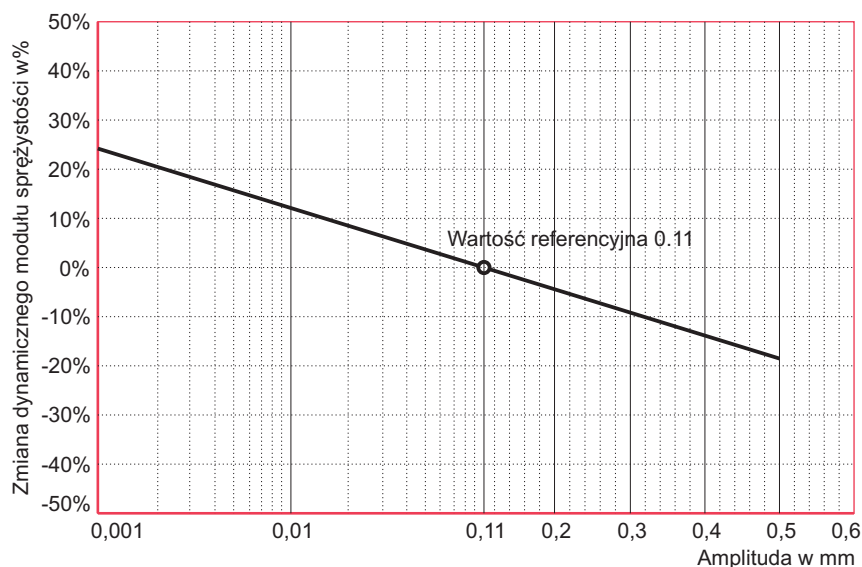
Statyczny przebieg pełzania



Rys. 1: Odkształcenie przy obciążeniu statycznym w zależności od czasu

Podobnie jak inne elastomery, Sylodamp® wykazuje zwiększone odkształcenia pod obciążeniem statycznym (pełzanie). Ten wzrost odkształcenia jest proporcjonalny do logarytmu czasu. Dodatkowe odkształcenie, które występuje, jest zawsze takie samo przez każdą dekadę (1 dzień, 10 dni, 100 dni itp.). Największy wzrost deformacji spowodowany pełzaniem jest ukończony po stosunkowo krótkim czasie. Obszary zastosowań dla Sylodamp® zostały zatem wybrane tak, aby krzywa pełzania była taka sama dla wszystkich typów.

Zależność od amplitudy

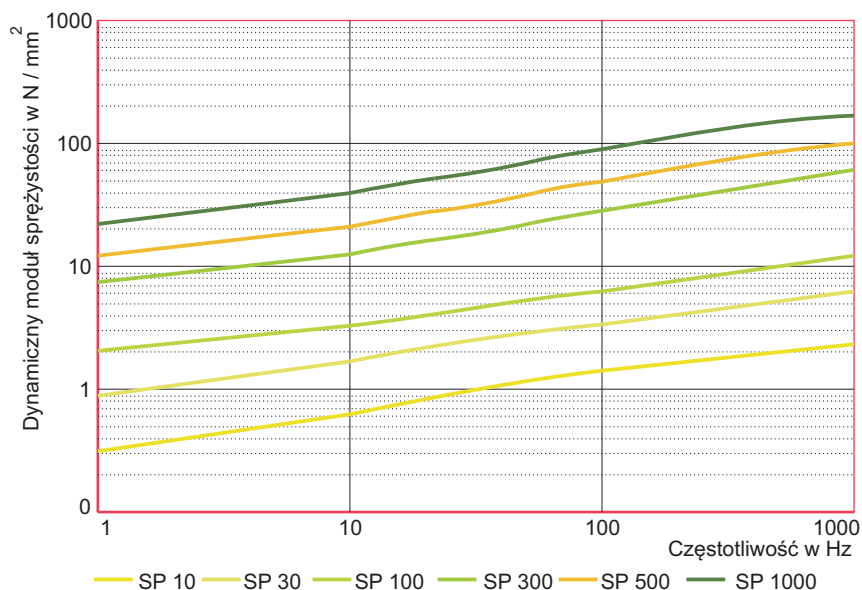


Rys. 2: Dynamiczny moduł sprężystości w zależności od amplitudy drgań

Wartość odniesienia: Amplituda 0.11 mm (odpowiada prędkości drgań 100 dBv 10 Hz).

Sylodamp®

Zależność częstotliwości od dynamicznego modułu sprężystości

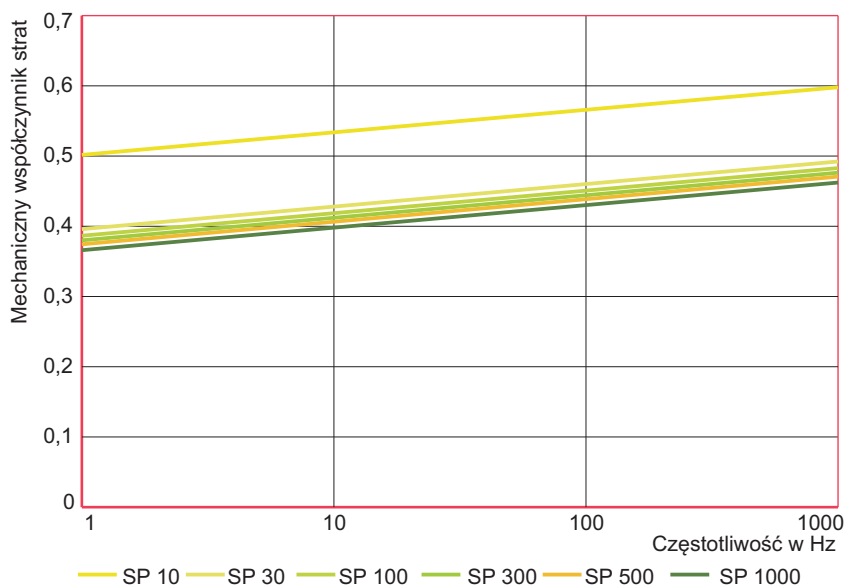


Rys. 3: Dynamiczny moduł sprężystości w zależności od częstotliwości

Zależność częstotliwości od dynamicznego modułu sprężystości.

Test dynamiczny (badania dynamiczne), przeprowadzono w temperaturze pokojowej (23 ° C), wymuszenie sinusoidalne w zakresie liniowego odkształcenia, przy współczynniku kształtu $q = 3$.

Zależność częstotliwości od mechanicznego współczynnika strat



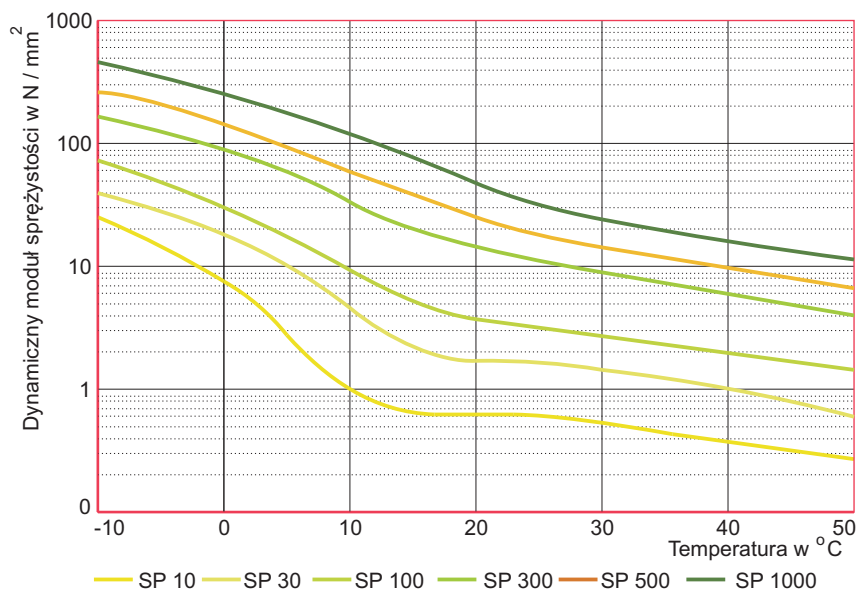
Rys. 4: Współczynnik strat mechanicznych w zależności od częstotliwości

Sylodamp® wykazuje zależność częstotliwości od mechanicznego współczynnika strat.

Test dynamiczny (badania dynamiczne), przeprowadzono w temperaturze pokojowej (23 ° C), wymuszenie sinusoidalne w zakresie liniowego odkształcenia, przy współczynniku kształtu $q = 3$.

Sylodamp®

Zależność temperatury od dynamicznego modułu sprężystości

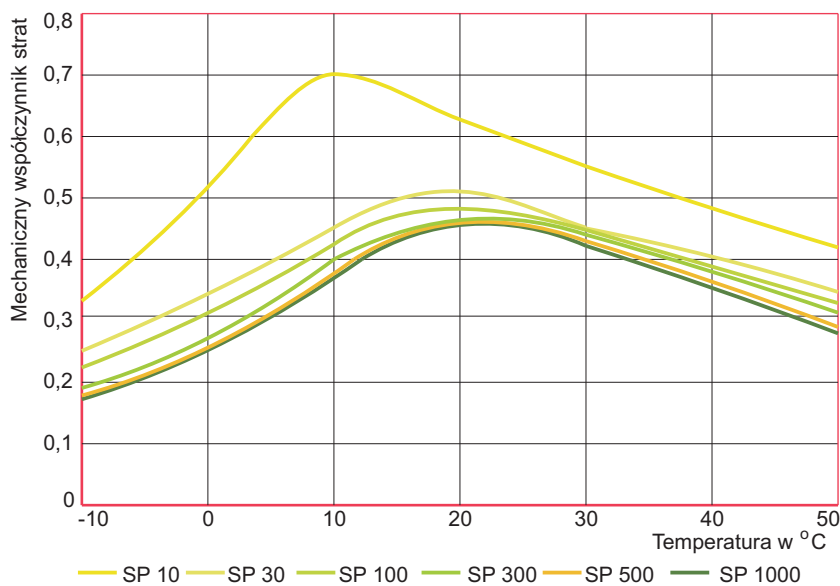


Rys. 3: Dynamiczny moduł sprężystości w zależności od częstotliwości

Zależność częstotliwości od dynamicznego modułu sprężystości.

Test dynamiczny (badania dynamiczne), przeprowadzono w temperaturze pokojowej (23 °C), wymuszenie sinusoidalne w zakresie liniowego odkształcenia, przy współczynniku kształtu $q = 3$.

Zależność temperatury od mechanicznego współczynnika strat



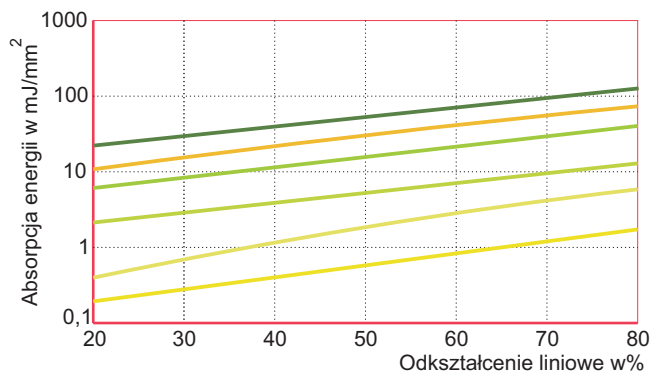
Rys. 4: Współczynnik strat mechanicznych w zależności od częstotliwości

Sylodamp® wykazuje zależność częstotliwości od mechanicznego współczynnika strat.

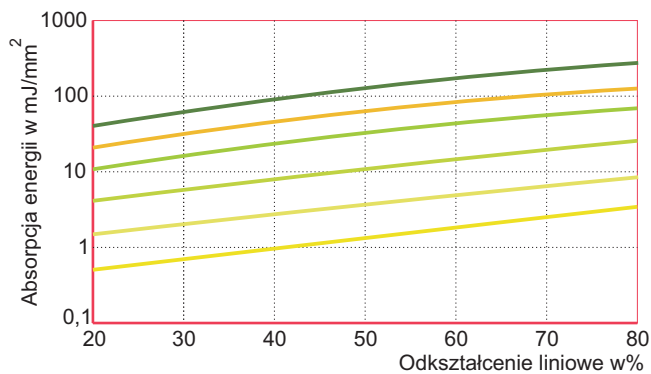
Test dynamiczny (badania dynamiczne), przeprowadzono w temperaturze pokojowej (23 °C), wymuszenie sinusoidalne w zakresie liniowego odkształcenia, przy współczynniku kształtu $q = 3$.

Sylodamp®

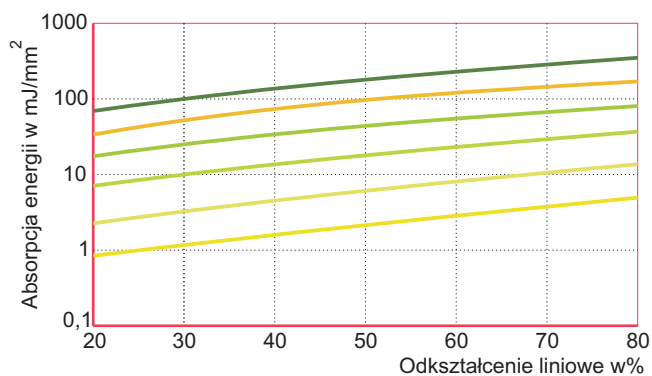
Absorpcja energii



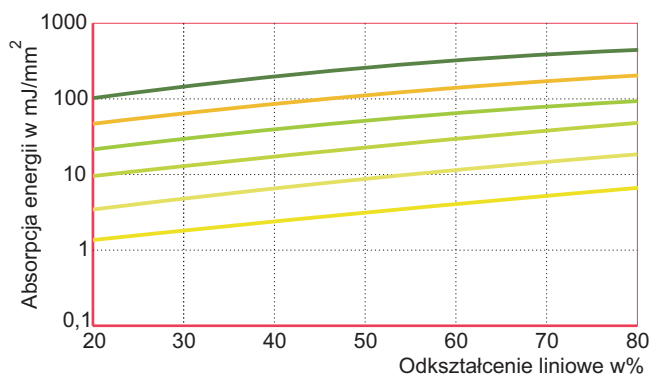
Rys. 7: Absorpcja energii 1 dla grubości maty 12,5 mm



Rys. 8: Absorpcja energii 1 dla grubości maty 25 mm



Rys. 9: Absorpcja energii 1 dla grubości maty 37,5 mm



Rys. 10: Absorpcja energii 1 dla grubości maty 50 mm

— SP 10 — SP 30 — SP 100 — SP 300 — SP 500 — SP 1000

¹ Absorpcja energii przy obciążeniu udarowym. Obciążenie udarowe przy użyciu okrągłego, długiego trzpienia. Rejestrowanie pierwszego obciążenia, szybkość oddziaływania między 0,5 m / s do 5 m / s. Test przeprowadzono w temperaturze pokojowej (23 ° C). Parametr: grubość Sylodamp, dla współczynnika $q = 3$

Wszystkie informacje i dane opierają się na obecnym poziomie wiedzy. Mogą one być stosowane w obliczeniach i celach referencyjnych, ale podlega typowej tolerancji produkcyjnej i nie stanowią gwarancji. Mogą ulec zmianie bez powiadomienia.